

01,12

## Фактор Парселла в малых металлических полостях

© М.М. Глазов<sup>1</sup>, Е.Л. Ивченко<sup>1</sup>, А.Н. Поддубный<sup>1</sup>, Г. Хитрова<sup>2</sup>

<sup>1</sup> Физико-технический институт им. А.Ф. Иоффе РАН, Санкт-Петербург, Россия

<sup>2</sup> College of Optical Sciences, The University of Arizona, Tucson, USA

E-mail: glazov@coherent.ioffe.ru

(Поступила в Редакцию 1 марта 2011 г.)

Теоретически исследован фактор Парселла, описывающий изменение скорости излучения электрического или магнитного диполя, помещенного в центр сферической полости. Основное внимание уделено анализу полостей, радиус которых мал по сравнению с длиной волны. Показано, что в малых металлических полостях фактор Парселла изменяется в широких пределах в зависимости от соотношения между размером полости и толщиной скин-слоя.

Работа поддержана программами РАН, грантами РФФИ и Президента РФ, а также фондом „Династия“ — МЦФФМ. Г.Х. выражает благодарность за поддержку NSF AMOP (PHY-0757707) и AFOSR (FA9550-10-1-0003).

### 1. Введение

Эффект Парселла — в широком смысле — определяется как изменение скорости спонтанного излучения точечного источника света, помещенного в полость резонатора. Для описания этого эффекта вводится фактор Парселла  $f$ , определяемый отношением времен спонтанного излучения  $\tau_{r,bulk}/\tau_{r,cav}$ , где  $\tau_{r,cav}$  и  $\tau_{r,bulk}$  — времена жизни излучателя в системе с полостью и в бесконечной однородной среде, заполненной материалом полости. В оптимальном случае, когда резонансная частота излучателя  $\omega_0$  настроена в резонанс с частотой фотонной моды  $\omega_c$  и излучатель находится в пучности поля, формула для фактора Парселла имеет вид [1]

$$f = \frac{3Q\lambda^3}{4\pi^2V}. \quad (1)$$

Здесь  $V$  — объем резонатора,  $Q$  — его добротность,  $\lambda \equiv \lambda_0$  — длина световой волны в вакууме, если полость пустая, и  $\lambda_0/n$ , если полость заполнена материалом с показателем преломления  $n$ . В оригинальной заметке [1], посвященной спонтанной эмиссии осциллирующего (ядерного) магнитного диполя, приведены три оценки для фактора  $f$ . Для резонансной металлической полости с линейным размером  $a$  и толщиной скин-слоя металла  $\delta$  фактор Парселла  $f$  составляет

$$f \sim \frac{\lambda^3}{a^2\delta}. \quad (2)$$

Для нерезонансных систем,  $\lambda \ll a$ , в [1] приведены оценочные формулы

$$f \sim \frac{\lambda^3}{a^3} \quad \text{и} \quad f \sim \frac{\lambda^3}{a\delta^2}, \quad (3)$$

последняя оценка — применительно к случаю  $a < \delta$ . В отличие от широко известной и цитируемой формулы (1), см., например, обзор [2], указанные две оценки,

насколько нам известно, в литературе не упоминаются. В настоящей работе мы рассчитали фактор Парселла  $f$  для излучателя в нерезонансной сферической металлической полости с размером  $a \leq \lambda$  и получили следующие результаты для излучающего магнитного диполя

$$f = \begin{cases} 9\delta/(2k_1^3a^4), & a \gg \delta, \\ 2/(\delta^2k_1^3a), & a \ll \delta, \end{cases} \quad (4)$$

и излучающего электрического диполя

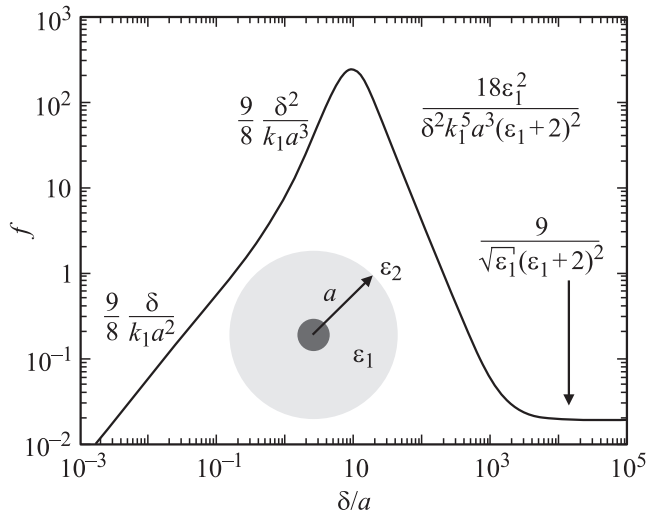
$$f = \frac{9}{8} \begin{cases} \delta/(k_1a^2), & a \gg \delta, \\ \delta^2/(k_1a^3), & a \ll \delta, \end{cases} \quad (5)$$

где  $k_1 = 2\pi/\lambda$ . Из сравнения (3) с (4) видно, что для излучения магнитного диполя получено согласие с [1] в случае  $a \ll \delta$ ; оценка же  $f \sim (\lambda/a)^3$  соответствует максимально возможному фактору Парселла в сверхмалой полости, для структуры с магнитным диполем это достигается при  $\delta \sim a$ .

Для получения формул (4) и (5) мы выведем общее выражение для фактора  $f$  при произвольных значениях  $\lambda$ ,  $a$  и диэлектрических проницаемостей  $\epsilon_1$ ,  $\epsilon_2$  материалов, соответственно, внутри и вне сферы радиуса  $a$ . Затем мы рассмотрим различные частные случаи, в том числе и те, при которых применимы выражения (4), (5). В дальнейшем мы считаем проницаемость  $\epsilon_1$  вещественной, тогда как ограничений на вещественную и мнимую части величины  $\epsilon_2$  не накладываем (кроме естественного условия  $\text{Im } \epsilon_2 \geq 0$ ).

### 2. Излучение электрического диполя

Для определенности мы рассмотрим сферическую полупроводниковую квантовую точку, помещенную в



Зависимость фактора Парселла  $f$  от приведенной толщины скин-слоя  $\delta/a$  в металлической полости. Расчет проводился по общей формуле (17) при  $k_1 a = 1/5$  и  $\varepsilon_1 = 10$ . Отмечены также приближенные аналитические зависимости  $f(\delta)$ . На вставке показана схема рассматриваемой структуры: квантовая точка (темный кружок), окруженная средой с диэлектрической проницаемостью  $\varepsilon_1$  (светлый материал внутренности полости), а затем среда с проницаемостью  $\varepsilon_2$ .

центр сферической полости. Диэлектрические проницаемости материала полости и окружающей среды обозначим как  $\varepsilon_1$  и  $\varepsilon_2$  соответственно. Различием между  $\varepsilon_1$  и фоновой диэлектрической проницаемостью квантовой точки пренебрегаем. Радиус квантовой точки  $r_{QD}$  считается малым по сравнению с радиусом полости  $a$ . Электрическое поле световой волны, излучаемой квантовой точкой, удовлетворяет волновому уравнению

$$\text{rot rot } \mathbf{E}(\mathbf{r}) - k_0^2 \varepsilon(\mathbf{r}) \mathbf{E}(\mathbf{r}) = 4\pi k_0^2 \mathbf{P}_{\text{exc}}(\mathbf{r}),$$

или в эквивалентной форме

$$\Delta \mathbf{E}(\mathbf{r}) + k_0^2 \varepsilon(\mathbf{r}) \mathbf{E}(\mathbf{r}) = -4\pi k_0^2 [\mathbf{P}_{\text{exc}}(\mathbf{r}) + k_1^{-2} \text{grad div } \mathbf{P}_{\text{exc}}(\mathbf{r})]. \quad (6)$$

Здесь

$$\varepsilon(\mathbf{r}) = \begin{cases} \varepsilon_1, & r < a, \\ \varepsilon_2, & r > a, \end{cases}$$

$k_0 = \omega/c$ ,  $\omega$  — собственная (комплексная) частота экситонного возбуждения в квантовой точке, определяемая из замкнутого алгебраического уравнения, получаемого при учете экситон-фотонного взаимодействия (см. далее),  $\mathbf{P}_{\text{exc}}(\mathbf{r})$  — вклад выделенного экситонного резонанса в диэлектрическую поляризацию, имеющий вид [3,4]

$$4\pi \mathbf{P}_{\text{exc}}(\mathbf{r}) = \frac{\pi \varepsilon_1 \omega_{LT} a_B^3}{\omega_0 - \omega - i\Gamma} \Phi(\mathbf{r}) \int d^3 r' \Phi(\mathbf{r}') \mathbf{E}(\mathbf{r}'), \quad (7)$$

$\omega_0$  — резонансная частота экситона (не перенормированная экситон-фотонным взаимодействием),  $\Gamma$  — нерезонансное экситонное затухание (в дальнейшем

для простоты не учитываем),  $a_B$  и  $\omega_{LT}$  — боровский радиус и продольно-поперечное расщепление экситона в объемном полупроводнике,  $\Phi(\mathbf{r})$  — огибающая волновой функции экситона при совпадающих координатах электрона и дырки, она считается изотропной:  $\Phi(\mathbf{r}) \equiv \Phi(r)$ . Схематически рассматриваемая система представлена на вставке к рисунку.

Выделим в собственной комплексной частоте экситона в квантовой точке вещественную и мнимую части:  $\omega = \tilde{\omega}_0 - i\Gamma_0$ , где  $\tilde{\omega}_0 - \omega_0$  — перенормировка резонансной частоты, обусловленная экситон-фотонным взаимодействием, а излучательное время жизни экситона  $\tau_r$  связано с излучательным затуханием соотношением  $\tau_r^{-1} = 2\Gamma_0$ . Для нахождения  $\tilde{\omega}_0$  и  $\Gamma_0$  воспользуемся тензорной функцией Грина, удовлетворяющей волновому уравнению [4–6],

$$[\Delta + k_0^2 \varepsilon(\mathbf{r})] G_{\alpha\beta}(\mathbf{r}, \mathbf{r}') = -\left( \delta_{\alpha\beta} + \frac{1}{k_1^2} \frac{\partial^2}{\partial r_\alpha \partial r_\beta} \right) \delta(\mathbf{r} - \mathbf{r}'). \quad (8)$$

Учитывая сферическую симметрию полости с квантовой точкой, находим

$$\tilde{\omega}_0 - \omega_0 - i\Gamma_0 = -\pi k_1^2 a_B^3 \omega_{LT} \times \iint d^3 r d^3 r' \Phi(r) \Phi(r') G_{xx}(\mathbf{r}, \mathbf{r}'), \quad (9)$$

где  $k_1 = \sqrt{\varepsilon_1} k_0$ . Формула (9) применима при слабой экситон-фотонной связи, когда частоту  $\omega$ , от которой зависит функция Грина, можно заменить на затравочную частоту экситона  $\omega_0$ . В случае сильной связи необходимо учитывать зависимость функции Грина от частоты  $\omega$  и решать алгебраическое уравнение для собственных частот нульмерных экситонных поляритонов [5].

Цель настоящей работы — расчет радиационного времени жизни экситона в режиме слабой связи экситона с электромагнитным излучением. Поэтому мы оставим в левой и правой частях уравнения (9) только мнимые части и приведем общее выражение для излучательного затухания

$$\Gamma_0(\varepsilon_1, \varepsilon_2, a) = \pi k_1^2 a_B^3 \omega_{LT} \times \iint d^3 r d^3 r' \Phi(r) \Phi(r') \text{Im}\{G_{xx}(\mathbf{r}, \mathbf{r}')\}. \quad (10)$$

В выражении (10) для затухания экситона в полости мы ввели в качестве аргументов диэлектрические проницаемости  $\varepsilon_1$ ,  $\varepsilon_2$  и радиус  $a$ .

Используя явное выражение для функции Грина [3], уравнение (10) можно преобразовать к виду

$$\Gamma_0(\varepsilon_1, \varepsilon_2, a) = f \Gamma_0(\varepsilon_1), \quad (11)$$

где  $\Gamma_0(\varepsilon_1)$  — радиационное затухание экситона в однородной среде с диэлектрической проницаемо-

стью  $\varepsilon_1$ , см. [4]:

$$\begin{aligned} \Gamma_0(\varepsilon_1) &= \frac{1}{6} k_1^2 a_B^3 \omega_{LT} \iint d^3 r d^3 r' \Phi(r) \Phi(r') \frac{\sin k_1 |\mathbf{r} - \mathbf{r}'|}{|\mathbf{r} - \mathbf{r}'|} \\ &= \frac{1}{6} k_1^3 a_B^3 \omega_{LT} \left[ \int d^3 r \frac{\sin k_1 r}{k_1 r} \Phi(r) \right]^2. \end{aligned} \quad (12)$$

а фактор Парселла связан соотношением

$$f = 1 + \operatorname{Re} R_{12,l}^{TM} \quad (13)$$

с коэффициентом отражения электродипольной ( $TM$ ) световой волны  $R_{12,l}^{TM}(\omega)$  с полным угловым моментом  $l = 1$  на частоте  $\omega = \omega_0$ . Согласно [6], коэффициент  $R_{12,l}^{TM}(\omega)$  равен

$$R_{12,l}^{TM} = \frac{\sqrt{\varepsilon_2} \xi_1(k_2 a) \xi_1'(k_1 a) - \sqrt{\varepsilon_1} \xi_1'(k_2 a) \xi_1(k_1 a)}{\sqrt{\varepsilon_1} \psi_1(k_1 a) \xi_1'(k_2 a) - \sqrt{\varepsilon_2} \psi_1'(k_1 a) \xi_1(k_2 a)}. \quad (14)$$

Здесь введены обозначения  $\psi_1(x) = x j_1(x)$ ,  $\xi_1(x) = x h_1^{(1)}(x)$ , где  $j_1(x)$  — сферическая функция Бесселя,  $h_1^{(1)}(x) = j_1(x) + i y_1(x)$  — сферическая функция Ханкеля, штрих означает дифференцирование функции по ее аргументу. Эти функции удовлетворяют тождествам

$$\begin{aligned} [x h_1^{(1)}(x)]' &= x h_0^{(1)}(x) - h_1^{(1)}(x), \\ [x j_1(x)]' &= x j_0(x) - j_1(x), \\ j_0(x) &= \frac{\sin x}{x}, \quad j_1(x) = \frac{\sin x}{x^2} - \frac{\cos x}{x}, \\ y_0(x) &= -\frac{\cos x}{x}, \quad y_1(x) = -\frac{\cos x}{x^2} - \frac{\sin x}{x}. \end{aligned}$$

С учетом этих тождеств выражение для фактора Парселла можно привести к виду, удобному для дальнейшего анализа:

$$f = \operatorname{Im} \left[ \frac{(1 + S_d) y_1(k_1 a) - y_0(k_1 a) k_1 a}{(1 + S_d) j_1(k_1 a) - j_0(k_1 a) k_1 a} \right], \quad (15)$$

$$S_d = \frac{k_1^2 a \xi_1'(k_2 a)}{k_2 \xi_1(k_2 a)} = \frac{k_1^2}{k_2^2} \left( -1 + \frac{(k_2 a)^2}{1 - i k_2 a} \right). \quad (16)$$

Умножая числитель и знаменатель в (15) на комплексно-сопряженный знаменатель, учитывая вещественность волнового числа  $k_1$  и тождество  $j_1(x) y_0(x) - y_1(x) j_0(x) = 1/x^2$ , получим

$$f = \frac{\operatorname{Im}\{S_d\}}{k_1 a |(1 + S_d) j_1(k_1 a) - j_0(k_1 a) k_1 a|^2}. \quad (17)$$

В последующих подразделах мы используем общие формулы (15) и (17) для нахождения фактора Парселла в нескольких частных случаях.

2.1. Сферический микрорезонатор. Строго говоря, в формуле (1) объем полости  $V = (4\pi/3)a^3$  нужно заменить на эффективный объем  $\tilde{V}$ , отличный от  $V$

вследствие того, что электрическое (или магнитное) поле внутри полости неоднородно, а фактор Парселла определяется усилением поля в точке расположения излучателя [7–10].

Покажем, что из формулы (15) следует формула Парселла (1), и определим отношение  $V/\tilde{V}$  для основной фотонной  $TM$ -моды (для  $TE$ -моды это отношение приведено в следующем разделе). Фотонные моды в сферической полости находятся из условия минимума модуля знаменателя в правой части (15). Введем функцию

$$F(x) = \frac{x j_0(x)}{j_1(x)} = \frac{x^2}{1 - x \operatorname{ctg} x}.$$

В структуре, удовлетворяющей условию  $|S_d| \ll 1$ , размерно-квантованные  $TM$ -моды в нулевом порядке по  $S_d$  находятся из уравнения  $F(k_1 a) = 1$ . Первый корень этого уравнения приближенно равен 2.7437, см. [11,12]. Обозначим частоту и волновое число основной моды в виде  $\omega^*$  и  $k_1^* = \sqrt{\varepsilon_1} \omega^*/c$ . Точное значение собственной комплексной частоты  $\omega = \tilde{\omega}^* - i\gamma^*$  определяется из уравнения

$$F\left(\frac{\sqrt{\varepsilon_1} \omega a}{c}\right) - 1 = S_d(\omega).$$

Поправку первого порядка по  $S_d$  мы найдем, сохраняя в разложении  $F$  по степеням  $\omega - \omega^*$  линейные слагаемые и заменяя  $S_d(\omega)$  на  $S_d(\omega^*)$ . В результате получим

$$\tilde{\omega}^* = \omega^* - \frac{c \operatorname{Re}\{S_d(\omega^*)\}}{\sqrt{\varepsilon_1 a} |F'(k_1^* a)|}, \quad \gamma^* = \frac{c \operatorname{Im}\{S_d(\omega^*)\}}{\sqrt{\varepsilon_1 a} |F'(k_1^* a)|}.$$

Добротность  $Q$ , стандартный параметр резонатора, связана с затуханием фотонной моды  $\gamma^*$  соотношением  $\gamma^* = \tilde{\omega}^*/(2Q)$ . Для любого корня  $x^*$  уравнения  $F(x) = 1$  имеем  $F'(x^*) = (2 - x^{*2})/x^*$ , и для затухания экситона получаем

$$\Gamma_0(\varepsilon_1, \varepsilon_2, a) = \left(\frac{\Delta}{2}\right)^2 \frac{\gamma^*}{(\omega_0 - \tilde{\omega}^*)^2 + \gamma^{*2}},$$

где введено расщепление Раби

$$\Delta = 2\sqrt{\frac{c\Gamma_0(\varepsilon_1)}{\sqrt{\varepsilon_1 a}} \frac{1 - x^{*2} + x^{*4}}{x^{*2}|2 - x^{*2}|}}.$$

В режиме слабой связи выполняется неравенство  $\Delta \ll 2\gamma^*$  (напомним, что мы рассматриваем случай пренебрежимо малого нерадикационного затухания экситона,  $\Gamma \ll \gamma^*$ ). При точном резонансе  $\omega_0 = \tilde{\omega}^*$  получаем для фактора Парселла

$$f = \frac{3Q\lambda_1^3}{4\pi^2\tilde{V}}, \quad \frac{V}{\tilde{V}} = \frac{4}{9} \frac{1 - x^{*2} + x^{*4}}{|2 - x^{*2}|}. \quad (18)$$

При  $x^* = 2.7437$  отношение  $V/\tilde{V} \approx 4$ . Отметим, что в резонансных полостях три величины  $V$ ,  $\tilde{V}$  и  $\lambda_1^3$  различаются лишь численными множителями. Поэтому фактор

Парселла с точностью до численного коэффициента порядка единицы равен добротности резонатора. Действительно, именно в меру добротности  $Q$  усиливается амплитуда электромагнитного поля в резонаторе.

Рассмотрим далее структуры с нерезонансной полостью сверхмалого размера, удовлетворяющего условию  $k_1 a \ll 1$ .

2.2. Малая нерезонансная полость в непоглощающих средах. Здесь мы считаем, что диэлектрические проницаемости  $\varepsilon_1, \varepsilon_2$  вещественны и положительны. Учитывая следующие разложения при малых значениях аргумента

$$x j_0(x) \approx x, \quad j_1(x) \approx \frac{x}{3} \quad (19)$$

и подставляя их в (17), получим

$$f = \frac{9 \operatorname{Im}\{S_d(\omega_0)\}}{(k_1 a)^3 |2 - S_d|^2}. \quad (20)$$

В частном случае  $k_2 a \ll 1$  имеем

$$\operatorname{Im} S_d \approx k_1^2 k_2 a^3 \ll 1, \quad \operatorname{Re} S_d \approx -\frac{\varepsilon_1}{\varepsilon_2},$$

и фактор Парселла определяется известным выражением [13–18]

$$f = \sqrt{\frac{\varepsilon_2}{\varepsilon_1}} \left( \frac{3\varepsilon_2}{2\varepsilon_2 + \varepsilon_1} \right)^2. \quad (21)$$

На качественном уровне формулу (21) можно интерпретировать как классическое усиление стационарного электрического поля в диэлектрической полости.

В обратном предельном случае  $k_2 a \gg 1$  фактор Парселла равен

$$f = \frac{9}{4k_1 k_2 a^2} \quad (22)$$

и может быть как больше, так и меньше единицы.

2.3. Нерезонансная полость в металле. Рассмотрим теперь малую полость с  $k_1 a \ll 1$  в металле, диэлектрическая проницаемость которого дается формулой

$$\varepsilon_2(\omega) = 1 + \frac{4\pi i \sigma}{\omega} = 1 + \frac{2i}{\delta^2} \left( \frac{c}{\omega} \right)^2, \quad (23)$$

где  $\sigma$  и  $\delta$  — статическая проводимость и глубина скин-слоя в металле, соответственно. В квазистационарном приближении, т. е. при  $\delta \ll c/\omega$ , единицей в (23) можно пренебречь:

$$\varepsilon_2(\omega) = \frac{2i}{\delta^2} \left( \frac{c}{\omega} \right)^2, \quad k_2 = \frac{1+i}{\delta}. \quad (24)$$

Согласно (16), (20), при тонком скин-слое, т. е. при  $\delta \ll a$ , так что  $|k_2 a| \gg 1$ , имеем

$$S_d \approx i \frac{k_1^2 a}{k_2}, \quad \operatorname{Im}\{S_d\} = \frac{1}{2} k_1^2 a \delta \quad \text{и} \quad |S_d| \ll 1,$$

откуда и следует первая из формул (5). Если толщина скин-слоя превышает линейные размеры полости, но мала по сравнению с длиной волны, так что  $\delta \gg a$  и  $|k_1 \delta| \ll 1$ , имеем  $|S_d| \ll 1$  и  $\operatorname{Im}\{S_d\} = -\operatorname{Im}\{k_1^2/k_2^2\} = k_1^2 \delta^2/2$ , откуда следует вторая из формул (5). В случае, когда толщина скин-слоя является самым большим параметром в задаче,  $\delta \gg a$ ,  $\delta \gg 1/k_1$ , квазистационарное приближение неприменимо, и волновой вектор в металле  $k_2$  должен определяться с использованием общей формулы (23) для  $\varepsilon_2$ . В этом режиме может быть получена следующая асимптотика для фактора Парселла:

$$f = \frac{18\varepsilon_1^2}{\delta^2 k_1^5 a^3 (\varepsilon_1 + 2)^2} + \frac{9}{\sqrt{\varepsilon_1} (2 + \varepsilon_1)^2}. \quad (25)$$

В пределе  $\delta \rightarrow \infty$  фактор Парселла определяется вторым слагаемым в (25). При этом металл прозрачен,  $\varepsilon_2 \equiv 1$ , так что выражение (25) эквивалентно выражению (21) из предыдущего раздела.

Рассчитанная зависимость фактора Парселла  $f$  от толщины скин-слоя  $\delta$ , выраженной в единицах радиуса полости  $a$ , представлена на рисунке. Построенная в двойном логарифмическом масштабе кривая демонстрирует, что в зависимости  $f(\delta)$  можно выделить три участка, на которых она с высокой точностью описывается степенными законами, указанными на рисунке. Первые два участка кривой, соответствующие малым  $\delta \ll 1/k_1$ , демонстрируют линейную и квадратичную зависимости фактора Парселла от  $\delta$  в согласии с уравнением (5). При  $\delta \sim 1/k_1$  фактор  $f$  достигает максимума,  $f \sim 1/(k_1 a)^3$  (в этой оценке численный множитель, зависящий от  $\varepsilon_1$ , опущен), а затем при  $\delta \gg 1/k_1$  спадает как  $1/\delta^2$ . Наконец, когда нарушается квазистационарное приближение и  $\delta \gg a(k_1 a)^{-5/2}$ , фактор Парселла выходит на постоянное значение, описываемое вторым членом в (25). Следует отметить, что на высоких частотах приближенное выражение (23) для восприимчивости металла следует заменить на

$$\varepsilon_2(\omega) = 1 - \frac{\omega_{pl}^2}{\omega(\omega + i\gamma_m)},$$

где  $\omega_{pl}$  — плазменная частота, и  $\gamma_m$  — затухание, описывающее релаксацию электронов в металле. В таком случае, следует подставить приведенное выше выражение для  $\varepsilon_2(\omega)$  в формулу (17) для более точного расчета фактора Парселла.

Качественно полученные результаты могут быть интерпретированы следующим образом. При малой толщине скин-слоя электрическое поле слабо проникает из полости в металл. Поэтому спонтанное излучение квантовой точки подавлено в пределе  $\delta \rightarrow 0$  и усиливается с ростом  $\delta$ . В противоположном предельном случае  $\delta \rightarrow \infty$ , когда  $\varepsilon_2 \rightarrow 1$ , электрическое поле внутри полости с  $\varepsilon_1 > 1$  меньше, чем снаружи, что также ведет к ослаблению спонтанного излучения. При промежуточных значениях  $\delta$  возможно проникновение поля внутрь

металла, приводящее к увеличению фактора Парселла. Это усиление спонтанного затухания обеспечено эффективным поглощением волны, излученной квантовой точкой, внутри металла.

### 3. Излучение магнитного диполя

Пусть система со сферической полостью по-прежнему характеризуется диэлектрическими проницаемостями  $\varepsilon_1$  и  $\varepsilon_2$ , но в центре полости вместо электрического диполя располагается магнитный диполь, распределенный с плотностью  $\mathbf{M}_{\text{ext}}(\mathbf{r})$  в малой области радиуса  $r_{QD} \ll a$  и осциллирующий на резонансной частоте  $\omega_0$ . Тогда вместо уравнения (6) для электрического поля  $\mathbf{E}$  удобнее решать волновое уравнение для магнитного поля

$$\Delta \mathbf{H}(\mathbf{r}) + k_0^2 \varepsilon(\mathbf{r}) \mathbf{H}(\mathbf{r}) = -4\pi k_1^2 \times [\mathbf{M}_{\text{ext}}(\mathbf{r}) + k_1^{-2} \text{grad div } \mathbf{M}_{\text{ext}}(\mathbf{r})]. \quad (26)$$

Следовательно, решение  $\mathbf{H}(\mathbf{r})$  можно записать с использованием той же функции Грина (8). Заметим, что по сравнению с (6) вместо множителя  $k_0^2$  в правой части уравнения (26) входит множитель  $k_1^2 = k_0^2 \varepsilon_1$ . Кроме того, в случае магнитного диполя при расчете фактора Парселла в разложении функции Грина по мультиполям [6] нужно учесть  $TE$ -волну с полным угловым моментом  $l = 1$ , для которой магнитное поле имеет в центре полости пучность. В результате фактор Парселла равен  $1 + \text{Re } R_{12,1}^{TE}$ , где [6]

$$R_{12,1}^{TE} = \frac{\sqrt{\varepsilon_1} \xi_1(k_2 a) \xi_1'(k_1 a) - \sqrt{\varepsilon_2} \xi_1'(k_2 a) \xi_1(k_1 a)}{\sqrt{\varepsilon_2} \psi_1(k_1 a) \xi_1'(k_2 a) - \sqrt{\varepsilon_1} \psi_1'(k_1 a) \xi_1(k_2 a)}.$$

Используя свойства сферических функций Бесселя, можем привести выражения для  $f$  к виду, аналогичному (15):

$$f = 1 + \text{Re } R_{12,1}^{TE} = \text{Im} \left[ \frac{(1 + S_m) y_1(k_1 a) - k_1 a y_0(k_1 a)}{(1 + S_m) j_1(k_1 a) - k_1 a j_0(k_1 a)} \right], \quad (27)$$

где

$$S_m = \frac{k_2^2}{k_1^2} S_d = -1 + \frac{(k_2 a)^2}{1 - i k_2 a}.$$

Вместо (17) получаем

$$f = \frac{\text{Im}\{S_m\}}{k_1 a |(1 + S_m) j_1(k_1 a) - j_0(k_1 a) k_1 a|^2}. \quad (28)$$

В нерезонансной металлической полости, удовлетворяющей условию  $k_1 a \ll 1$ , применимо выражение (20), в котором  $S_d$  заменено на  $S_m$ . Для малой диэлектрической полости с  $k_1 a \ll 1$  можно использовать асимптотики  $S_m \approx i k_2 a$  при  $k_2 a \gg 1$  и  $S_m \approx -1 + (k_2 a)^2$  при  $k_2 a \ll 1$ . В результате получаем вместо (21) и (22):  $f = (k_2/k_1)^3 = (\varepsilon_2/\varepsilon_1)^{3/2}$  при  $k_2 a \ll 1$  и  $f = 9/(k_1^3 k_2 a^4)$  при  $k_2 a \gg 1$ .

В металлических полостях, отклик которых описывается уравнением (23) при  $|k_2 a| \ll 1$ , получаем выражения (4). При произвольном соотношении между  $\delta$  и  $a$ , но по-прежнему при  $k_1 a \ll 1$ , фактор Парселла описывается следующим выражением:

$$f = \frac{18\delta(\delta + a)}{k_1^3 a (4a^4 + 12a^3\delta + 18a^2\delta^2 + 18a\delta^3 + 9\delta^4)}. \quad (29)$$

Так же как и для электрического диполя, зависимость фактора Парселла от толщины скин-слоя при фиксированной геометрии полости является немонотонной, особенность магнитного диполя состоит в том, что максимума фактор Парселла достигает при  $\delta \sim a \ll 1/k_1$ . В этом несложно убедиться из общей формулы (29) или из оценок (4), причем максимальное усиление излучения магнитного диполя по порядку величины есть  $f \sim 1/(k_1 a)^3$ .

Теперь кратко проанализируем резонансные системы, содержащие магнитный диполь. Для высокочастотной полости выполняется условие  $|k_2 a| \gg 1$ . В этом случае  $S_m \approx i k_2 a$  и в нулевом приближении по малому параметру  $|S_m|^{-1} \ll 1$  собственные  $TE$ -моды удовлетворяют уравнению  $j_1(k_1 a) = 0$ , или  $\text{tg } k_1 a = k_1 a$ . Наименьший корень уравнения  $j_1(y) = 0$  приближенно равен  $y^* = 4.4934$ , в согласии с [11,12], а основная частота  $TM$ -моды равна  $\omega_m^* \equiv y^* c / (\sqrt{\varepsilon_1 a})$ .

При близких резонансных частотах излучателя и  $TE$ -моды, т.е. при  $\omega_0 \approx \omega_m^*$ , с учетом неравенства  $|S_m| \gg 1$  выражение (27) упрощается

$$f = \text{Im} \left[ \frac{y_1(y^*)}{j_1'(y^*)(k_1 a - y^*) - y^* j_0(y^*) S_m^{-1}} \right] = \frac{1 + y^{*2}}{y^{*2}} \frac{c}{a \sqrt{\varepsilon_1}} \frac{\gamma_m^*}{(\omega_0 - \tilde{\omega}_m^*)^2 + \gamma_m^{*2}},$$

где

$$\tilde{\omega}^* - \omega^* = -\text{Im} \frac{\omega_m^*}{k_2 a}, \quad \gamma_m^* = \text{Re} \frac{\omega_m^*}{k_2 a}.$$

Для добротности получаем  $Q_m = [\text{Re}(2/k_2 a)]^{-1} = \delta/a$  в согласии с формулами (1), (2). В системе, настроенной на резонанс ( $\omega_0 = \tilde{\omega}_m^*$ ), фактор Парселла определяется формулой (18) с отношением объемов

$$\frac{V}{\tilde{V}} = \frac{4}{9} (y^{*2} + 1).$$

### 4. Анализ структуры полей и обсуждение

Согласно уравнению (13), фактор Парселла определяется коэффициентом отражения электромагнитного поля от стенок полости. Покажем, как эту формулу можно вывести, используя явные выражения для электрического ( $\mathbf{E}$ ) и магнитного ( $\mathbf{B}$ ) полей, создаваемых излучающим электрическим диполем

$$\mathbf{d}(t) = \mathbf{d} e^{-i\omega t} + \mathbf{d}^* e^{i\omega t}$$

внутри и вне сферической полости. Структура этих полей имеет следующий вид:

$$\mathbf{E}(\mathbf{r}) = \begin{cases} \mathbf{E}_{\text{in},1}(\mathbf{r}) + \mathbf{E}_{\text{in},2}(\mathbf{r}), & r_{QD} < r \leq a, \\ \mathbf{E}_{\text{out}}(\mathbf{r}), & a \leq r, \end{cases} \quad (30)$$

$$\mathbf{B}(\mathbf{r}) = \begin{cases} \mathbf{B}_{\text{in},1}(\mathbf{r}) + \mathbf{B}_{\text{in},2}(\mathbf{r}), & r_{QD} < r \leq a, \\ \mathbf{B}_{\text{out}}(\mathbf{r}), & a \leq r, \end{cases} \quad (31)$$

где

$$\begin{aligned} \mathbf{E}_{\text{in},1}(\mathbf{r}) &= \frac{i}{3} k_0^2 k_1 [2h_0^{(1)}(x_1)\mathbf{d} + h_2^{(1)}(x_1)\tilde{\mathbf{d}}], \\ \mathbf{E}_{\text{in},2}(\mathbf{r}) &= \frac{iR_{12,1}^{TM}}{3} k_0^2 k_1 [2j_0(x_1)\mathbf{d} + j_2(x_1)\tilde{\mathbf{d}}], \\ \mathbf{E}_{\text{out}}(\mathbf{r}) &= \frac{iT}{3} k_0^2 k_2 [2h_0^{(1)}(x_2)\mathbf{d} + h_2^{(1)}(x_2)\tilde{\mathbf{d}}] \end{aligned} \quad (32)$$

и

$$\begin{aligned} \mathbf{B}_{\text{in},1}(\mathbf{r}) &= \sqrt{\varepsilon_1} k_0^2 k_1 h_1^{(1)}(x_1)\mathbf{d} \times \mathbf{n}, \\ \mathbf{B}_{\text{in},2}(\mathbf{r}) &= R_{12,1}^{TM} \sqrt{\varepsilon_1} k_0^2 k_1 j_1(x_1)\mathbf{d} \times \mathbf{n}, \\ \mathbf{B}_{\text{out}}(\mathbf{r}) &= T \sqrt{\varepsilon_2} k_0^2 k_2 h_1^{(1)}(x_2)\mathbf{d} \times \mathbf{n}. \end{aligned} \quad (33)$$

Здесь  $x_1 = k_1 a$ ,  $x_2 = k_2 a$ ,  $\mathbf{n} = \mathbf{r}/r$ ,  $\tilde{\mathbf{d}} = 3(\mathbf{d} \cdot \mathbf{n})\mathbf{n} - \mathbf{d}$ , коэффициент  $R_{12,1}^{TM}$  введен в [6], а  $T$  можно выразить через  $T_{12,1}^{TM}$  из той же работы в виде  $T = (\varepsilon_1/\varepsilon_2)T_{12,1}^{TM}$ . Величины  $R_{12,1}^{TM}$  и  $T$  в (32) и (33) можно получить из граничных условий на сфере  $r = a$

$$\begin{aligned} x_1 h_0^{(1)}(x_1) - h_1^{(1)}(x_1) - iR_{12,1}^{TM} [x_1 j_0(x_1) - j_1(x_1)] \\ = T [x_2 h_0^{(1)}(x_2) - h_1^{(1)}(x_2)], \\ \varepsilon_1 [h_1^{(1)}(x_1) - iR_{12,1}^{TM} j_1(x_1)] = \varepsilon_2 T h_1^{(1)}(x_2). \end{aligned} \quad (34)$$

Заметим, что фактор Парселла можно эквивалентно представить как отношение

$$f = \frac{I_{\text{cav}}}{I_{\text{bulk}}} \quad (35)$$

потоков электромагнитной энергии через сферу радиуса  $r < a$  при излучении диполя  $\mathbf{d}$  в системе с полостью и однородном материале:

$$I = \frac{cr^2}{2\pi} \int_{4\pi} d\Omega \mathbf{n} \cdot \text{Re}[\mathbf{E}^*(\mathbf{r}) \times \mathbf{B}(\mathbf{r})],$$

где  $d\Omega$  — элемент телесного угла. Подставляя выражения (32), (33) для электромагнитных полей и выполняя необходимые преобразования, получим формулу (13). Приравнявая потоки энергии на внутренней и внешней границах сферы радиуса  $a$  и учитывая граничные условия (34), получим тождество

$$k_2' \left( 1 + \frac{2k_2'' |1 - ik_2 a|^2}{|k_2|^4 a^3} \right) e^{-2k_2'' a} |T|^2 = k_1 (1 + \text{Re} R_{12,1}^{TM}),$$

связывающее  $|T|$  с  $\text{Re} R_{12,1}^{TM}$ . Здесь  $k_2'$  и  $k_2''$  — вещественная и мнимая части волнового числа  $k_2$ .

В частном случае  $a \ll \delta \ll \lambda$  имеем приближенно вместо (34):

$$\begin{aligned} x_1 h_1^{(1)}(x_1) - \frac{2x_1}{3} R_{12,1}^{TM} &= -T h_1^{(1)}(x_2), \\ \varepsilon_1 \left[ h_1^{(1)}(x_1) - \frac{x_1}{3} R_{12,1}^{TM} \right] &= \varepsilon_2 T h_1^{(1)}(x_2), \end{aligned} \quad (36)$$

где в свою очередь можно положить  $h_1^{(1)}(x_j) \approx -i/x_j^2$  ( $j = 1, 2$ ). Отдельные слагаемые в этих уравнениях позволяют оценить величину поля вблизи сферы, а также найти приближенное значение коэффициента отражения

$$R_{12,1}^{TM} \approx -\frac{3}{2} \frac{i}{k_1^2 a^2} \left( 1 - \frac{3}{2} \frac{k_1^2}{k_2^2} \right).$$

При  $k_2 = (1+i)/\delta$  находим  $\text{Re} R_{12,1}^{TM} = (9/8)(\delta^2/k_1 a^3)$  в согласии с (5).

Представляет интерес установить связь между фактором Парселла, определенным как отношение  $\tau_{r,\text{bulk}}/\tau_{r,\text{cav}}$ , и добротностью излучателя  $Q_{\text{ant}}$ , определенной в физике антенн [19,20] как отношение запасенной (нераспространяющейся) энергии  $W_{\text{nonprop}}$  к потоку излучаемой энергии  $S$ , точнее,  $Q_{\text{ant}} = 2\omega W_{\text{nonprop}}/S$ . Учитывая, что размер излучателя  $r_{QD}$  (радиус квантовой точки удовлетворяет условию  $k_1 r_{QD} \ll 1$ ) является самым малым линейным размером в изучаемой системе с полостью, находим

$$Q_{\text{ant}} = \frac{1}{f k_1^3 r_{QD}^3}. \quad (37)$$

где  $f = 1 + \text{Re} R_{12,1}$  — фактор Парселла. При излучении в однородном пространстве  $R_{12,1} = 0$  и  $Q_{\text{ant}} = (k_1 r_{QD})^{-3}$  в согласии с [19]. В работе [20] рассчитывалась добротность излучения антенны в виде элементарного диполя, помещенного в центр сферического слоя конечной толщины из материала с отрицательными диэлектрической и магнитной проницаемостями. Согласно (37), фактор Парселла для рассмотренных систем можно найти по формуле  $f = [Q_{\text{ant}}(k_1 r_{QD})^3]^{-1}$ , используя результаты численного расчета  $Q_{\text{ant}}$ .

В данной работе в качестве излучателя рассматривается полупроводниковая квантовая точка, отклик которой находится квантовомеханически, см. формулу (7). Однако эффект Парселла может быть получен и в терминах классической электродинамики, например, для излучения электрона, совершающего механическое колебательное движение в сферически симметричном, параболическом потенциале. Если минимум потенциала располагается в центре полости радиуса  $a$ , то согласно второму закону Ньютона

$$m(\ddot{\mathbf{d}} + \omega_0^2 \mathbf{d}) = e^2 [\mathbf{E}_{\text{rad.fric.}} + \mathbf{E}_{\text{in},2}(0)], \quad (38)$$

где  $m$  — масса электрона,  $\omega_0$  — резонансная частота его колебаний, точки обозначают производные по времени,  $e\mathbf{E}_{\text{rad.fric.}}$  — сила „торможения излучением“, создаваемым

колеблющимся электроном [21], а  $\mathbf{E}_{\text{in},2}(0)$  — поле, обусловленное наличием сферической границы и введенное в (32). Для поля  $\mathbf{E}_{\text{rad},\text{fric}}$  имеем

$$\mathbf{E}_{\text{rad},\text{fric}} = \frac{2}{3c^3} \ddot{\mathbf{d}}. \quad (39)$$

При наличии полости (для простоты считаем  $\varepsilon_1 = 1$ ) полное поле в точке нахождения диполя содержит вклад  $\mathbf{E}_{\text{in},2}(0)$ , в который, согласно (32), можно представить в виде

$$\mathbf{E}_{\text{in},2}(0) = \frac{2iR_{12,1}^{TM}}{3} k_0^3 \mathbf{d}. \quad (40)$$

При слабом излучательном затухании  $\ddot{\mathbf{d}} = -\omega_0^2 \mathbf{d}$  и уравнение (38) можно записать как

$$\ddot{\mathbf{d}} + \omega_0^2 \mathbf{d} + \frac{2e^2 \omega_0^3}{3c^3 m} (1 + R_{12,1}^{TM}) \mathbf{d} = 0. \quad (41)$$

откуда следует формула (13).

## 5. Заключение

Мы разработали теорию эффекта Парселла — влияния окружения на темп излучения электрического или магнитного диполя — для сферических полостей произвольных размеров. Особое внимание уделено нерезонансным полостям, радиус которых мал по сравнению с длиной волны дипольного излучения. В таких системах увеличение темпа излучения диполя происходит из-за отражения излучаемой волны от сферической границы полости и сильного увеличения амплитуды электромагнитного поля в месте расположения диполя. Получены асимптотические выражения для фактора Парселла для металлических полостей и показано, что ускорение излучения диполя существенно зависит от соотношения между толщиной скин-слоя и размером полости.

Экспериментально указанные эффекты могут наблюдаться в металлических полостях с малыми прорезями, которые способны обеспечить выход излучения за пределы поглощающей среды. Усиление излучения может также исследоваться в экспериментах, где излучатель (молекула или локализованный экситон) находится снаружи металлической частицы [10,22–27].

## Список литературы

- [1] E.M. Purcell. Phys. Rev. **69**, 681 (1946).
- [2] А.Н. Ораевский. УФН **164**, 415 (1994).
- [3] E.L. Ivchenko. Optical spectroscopy of semiconductor nanostructures. Alpha Science Int., Harrow, UK (2005).
- [4] Е.Л. Ивченко, А.В. Кавокин. ФТТ **34**, 1815 (1992).
- [5] M.A. Kaliteevski, S. Brand, R.A. Abram, V.V. Nikolaev, M.V. Maximov, C.M. Sotomayor Torres, A.V. Kavokin. Phys. Rev. B **64**, 115305 (2001).
- [6] H. Ajiki, T. Tsuji, K. Kawano, K. Cho. Phys. Rev. B **66**, 245322 (2002).

- [7] R. Coccioli, M. Boroditsky, K.W. Kim, Y. Rahmat-Saii, E. Yablonovitch. IEE Proc. Optoelectronics **145**, 391 (1998).
- [8] L.C. Andreani, G. Panzarini, J.M. Gérard. Phys. Rev. B **60**, 13276 (1999).
- [9] J.T. Robinson, C. Manolatu, Long Chen, M. Lipson. Phys. Rev. Lett. **95**, 143901 (2005).
- [10] A.F. Koenderink. Opt. Lett. **35**, 4208 (2010).
- [11] S. Gallagher, W.J. Gallagher. IEEE Trans. Nucl. Sci. **NS-32**, 2980 (1985).
- [12] Л.Д. Ландау, Е.М. Лифшиц. Электродинамика сплошных сред. 3-е изд. Наука, М. (1992).
- [13] K. Ohtaka, A.A. Lukas. Phys. Rev. B **18**, 4643 (1978).
- [14] E. Yablonovitch, T.J. Gmitter, R. Bhat. Phys. Rev. Lett. **61**, 2546 (1988).
- [15] R.J. Glauber, M. Lewenstein. Phys. Rev. A **43**, 467 (1991).
- [16] P. Lavallard, M. Rosenbauer, T. Gacoin. Phys. Rev. A **54**, 5450 (1996).
- [17] A. Thränhardt, E. Ell, G. Khitrova, H.M. Gibbs. Phys. Rev. B **65**, 035327 (2002).
- [18] S.V. Goupalov. Phys. Rev. B **68**, 125311 (2003).
- [19] J.S. McLean. IEEE Trans. Antennas Propagat. **44**, 672 (1996).
- [20] R.W. Ziolkowski, A.D. Kipple. IEEE Trans. Antennas Propagat. **51**, 2626 (2003).
- [21] Л.Д. Ландау, Е.М. Лифшиц. Теория поля. Наука, М. (1967).
- [22] P. Anger, P. Bharadwaj, L. Novotny. Phys. Rev. Lett. **96**, 113002 (2006).
- [23] S. Kühn, U. Håkanson, L. Rogobete, V. Sandoghdar. Phys. Rev. Lett. **97**, 017402 (2006).
- [24] A.A. Toropov, T.V. Shubina, V.N. Jmerik, S.V. Ivanov, Y. Ogawa, F. Minami. Phys. Rev. Lett. **103**, 037403 (2009).
- [25] A.G. Curto, G. Volpe, T.H. Taminiau, M.P. Kreuzer, R. Quidant, N.F. Van Hulst. Science **329**, 930 (2010).
- [26] N. Meinzer, M. Ruther, S. Linden, C.M. Soukoulis, G. Khitrova, J. Hendrickson, J.D. Olitzky, H.M. Gibbs, M. Wegener. Opt. Express **18**, 24140 (2010).
- [27] K. Tanaka, E. Plum, J.Y. Ou, T. Uchino, N.I. Zheludev. Phys. Rev. Lett. **105**, 227403 (2010).